

清水建設(株)研究所 正員 〇田沢竜三
同 正員 丹羽亨明

1. はじめに

最近注目を集めている均圧考圧による活性汚泥(余剰汚泥)の分離及び濃縮について下記のような装置設計上重要な項目に着目して、回分実験による基礎的研究を行つた。

(1)活性汚泥の SVI と、汚泥の考圧速度、最終汚泥濃度及び濃縮倍率 (2)SVI別の考圧汚泥のスラリー粘度(以下、汚泥粘度という) (3)発生気泡とその分布について (4)考圧汚泥中への空気ホルドアップ (5)考圧汚泥の垂直方向の濃度分布と掻き取り方法 (6)考圧汚泥の圧密脱水について理論的考察

2. 実験装置と実験方法

2.1. 実験に用いた活性汚泥; 培養基質として、グルコース、グルタミン酸ソーダを主体とする人工下水を用いて供試用活性汚泥を培養した。培養条件は、下記のとおりである。

(1)回分式活性汚泥法 (2)BOD-SS負荷; 0.1 kg/18SS/日 (3)水温; 8~15℃ (4)MLSS; 3,500~9,000 ppm (主として、4,000 ppmの汚泥を実験に使用) (5)培養上澄水物質; COD; 5~18ppm, SS; 10~30 ppm

2.2 実験装置; 図-1のような回分式の均圧考圧実験装置を用いて検討した。

3. 実験結果と考察

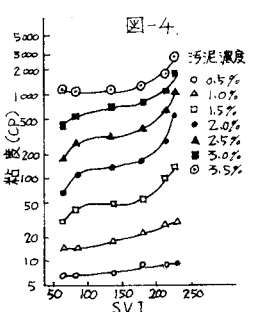
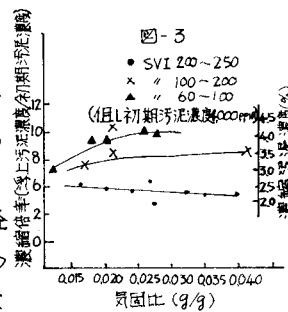
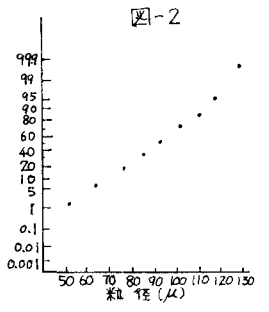
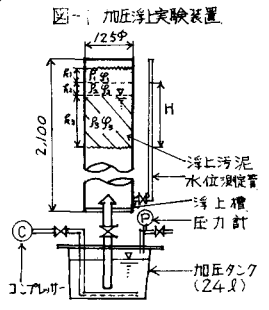
3.1. 発生気泡径とその分布について; 均圧5 kg/cm²にて製造した均圧水から発生する気泡径の分布を検討するために、接写撮影をした。得られた結果を正規確率紙にプロットしたものを、図-2に示した。ほぼ直線とみなせるので正規分布をばしていると考えられる。気泡径は、平均97μであり、75~115μの間に77%が存在している。

3.2. SVIが、汚泥濃縮倍率、最終汚泥濃度、必要気固比、汚泥粘度等に与える影響; 設計上一番重要な汚泥の濃縮倍率及び最終汚泥濃度と気固比の関係を、図-3にSVI別に示した。どのSVI領域でも、初期考圧速度への気固比の影響は大きい。ある一定以上の気固比であれば、気固比は濃縮倍率には大きく影響しないことがわかる。気固比が同一条件下では、SVIの小さい方が最終汚泥濃度、濃縮汚泥倍率ともかなり大きくできることが認められる。図-4に、考圧汚泥濃度別に供試汚泥のSVIと汚泥粘度(回転式粘度計による測定値)の関係を示した。SVIと汚泥粘度とは大きな相関があり、SVIが小さいと同じ濃度の汚泥でも、その粘度は小さく、また汚泥濃度が上がると加速度的に汚泥粘度が上がる事が判明した。このSVIの違いによる汚泥粘度の差異が汚泥の考圧速度、濃縮倍率、最終汚泥濃度、空気ホルド量等に大きな影響を及ぼしていると考えられる。

3.3. SVI, 空気ホルド量及び最終汚泥濃度について;

考圧槽中の空気ホルド量は、式(1)~(3)に示されるように、考圧槽の上側汚泥界面と側壁に設置した水位との差により求めることができる。(図-1を参照)

考圧分離における上側汚泥界面及び下側汚泥界面と経過時間との相関の事例を、図-5に示した。本図からわかるように、上側汚泥界面は空気ホルドアップによ



り一度盛り上げ、その後内部の空気が一部脱泡して低下し、あるところまで一定となる。

$$H = h_1 \rho_1 (1 - \rho_1) + h_2 \rho_2 (1 - \rho_2) + h_3 \rho_3 (1 - \rho_3) \quad \text{----- ①}$$

$$\frac{V_A}{A} = h_1 \rho_1 + h_2 \rho_2 + h_3 \rho_3 \quad \text{----- ②}$$

$$\text{従って } V_A = A \{ h_1 \rho_1 + h_2 \rho_2 + h_3 \rho_3 + h_1 \rho_1 (1 - \rho_1) + h_2 \rho_2 (1 - \rho_2) + h_3 \rho_3 (1 - \rho_3) - H \} \quad \text{----- ③}$$

③式より、最大ホールド率と最終ホールド率を求め、その結果を図-6に示した。ホールド率は、最大、最終とも、SVIが大きい程高いという結果が得られた。このことは、前項で述べたようにSVIが大きい程、汚泥粘度

が大きくなるため、空気がホールドされ易くなることを示している。図-7に、最終気固比と最終汚泥濃度との関係を示した。最終気固比が大きい程、最終汚泥濃度が加速度的に小さくなることが認められる。これらの結果は、最終気固比が小さい、即ち、SVIの小さい汚泥の方が最終的に高い汚泥濃度まで濃縮できることを示している。最終汚泥濃度の決定要因として、圧縮濃縮段階での立体傳言等、種々の要因が考えられるが、ホールドされている空気が、圧縮脱水の抵抗になっていることも一因と考えられる。

3.4. 汚上汚泥濃度の分布：汚上汚泥濃度の垂直方向の分布を、図-8に示した。汚泥濃度は上部程高く、下部へ行くにつれてほぼ直線的に減少している。従って、汚上汚泥の掻き取りに当っては、上部を掻き取る程平均的に高濃度の汚泥が得られ、さらに、掻き取り時の攪乱要因を考慮すると、実際的水位より上部の汚泥を掻き取る方が望ましい。空気ホールド量の分布は、上部程多い場合と、中間部で多い場合との二つのタイプのものが認められたが、汚上汚泥濃度の分布等、他の因子との相関は特に見だせなかった。

3.5. 汚上濃縮における圧縮脱水速度についての理論的考察：以下に示すような仮定のもとに、均圧汚上濃縮における圧縮脱水に関する基本式を導いた。

- (1) 汚上濃縮は、多数の毛細管を通しての脱水濃縮である。
- (2) 毛細管内での圧力損失は、Poiseuilleの式に従う。
- (3) 脱水濃縮された分だけ、毛細管の内容積が減少し、一様に細くなる。
- (4) 脱水濃縮されても、毛細管の長さ是不変。
- (5) ホールドされた空気の浮力により恒圧的に一様に脱水される。

$$\frac{dV}{dt} = \pi r^2 A \cdot N \cdot \frac{g \Delta \rho}{8 L \mu} \quad \text{--- ④} \quad \text{初期の脱水速度は、} \left(\frac{dV}{dt} \right)_0 = \pi r_0^2 A \cdot N \cdot \frac{g \Delta \rho}{8 L \mu} \quad \text{--- ⑤}$$

$$dV \text{ だけ脱水されることにより、毛細管の半径が } dr \text{ だけ減少するとして、} \\ -2ELAN \int_{r_0}^r r dr = \int_0^V dV \quad \text{----- ⑥}$$

$$\text{④~⑥より、} \frac{\theta}{V} = k\theta + \left(\frac{d\theta}{dV} \right) \quad \text{----- ⑦} \quad \left(\text{ここで、} k = \frac{1}{\pi ELAN r_0^2} \right)$$

実験データを基に⑦式の関係をプロットしたものを図-9に示した。 θ/V は、平均脱水速度の逆数で脱水濃縮に対する抵抗を表わすものであり、これが経過時間 θ と一次の関係にあることを示しているが、実験結果と理論式は非常によく一致している。そして、SVIが小さい程、この式の傾きが小さくなり、濃縮速度が大きくなることを示している。また、⑦式は標準型澄清器近式と近似した形になっている。

V_A : ホールド量 A : 指し面積 ρ_1, ρ_2, ρ_3 : 各領域での密度 ρ_1, ρ_2, ρ_3 : 各領域での空隙率 V : 脱水量 R : 相関係数 θ : 汚上分離時間 L : 毛細管の平均長さ r : 毛細管の半径 N : 単位断面積当りの毛細管本数 μ : 汚泥中の水の粘度

<参考文献> (1) Victor Gulas: WPCF 7, 1978 (2) 小笠原ら第14回下水汚泥研究会 (3) 小笠原ら第15回下水汚泥研究会

